

บทที่ 3

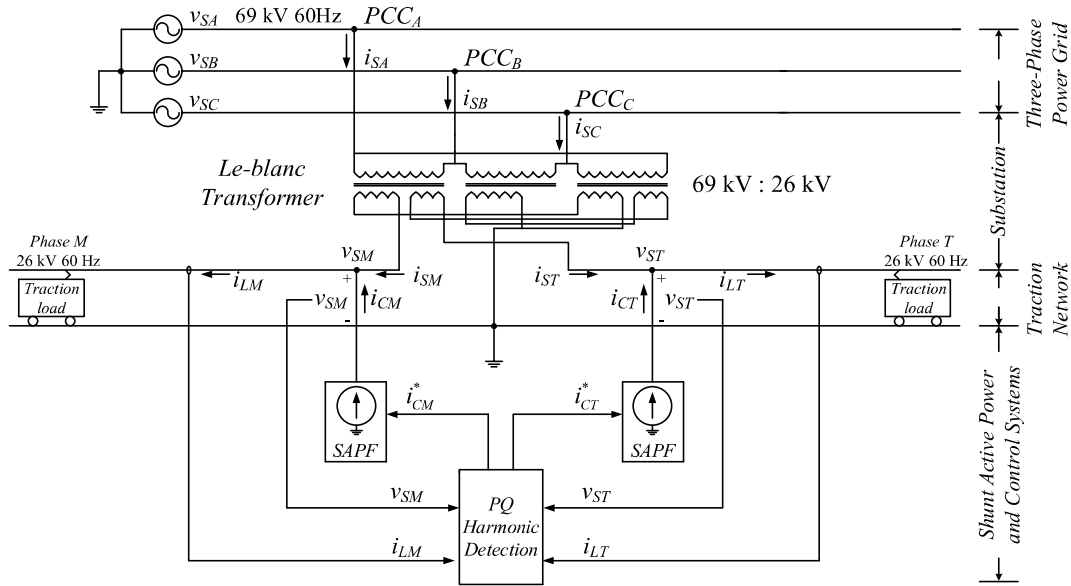
การคำนวณตรวจจับ荷าร์มอนิกด้วยวิธีทฤษฎีกำลังรีแอกทีฟขณะหนึ่ง สำหรับระบบแรงไฟฟ้ากระแสสลับแบบเฟสร่วม

3.1 กล่าวนำ

วิธีทฤษฎีกำลังรีแอกทีฟขณะหนึ่ง (instantaneous reactive power theory : PQ) ถูกนำเสนอครั้งแรกในปี 1984 โดย Akagi (Akagi H. and et al., 1984) วิธีดังกล่าวมีขั้นตอนการคำนวณที่เรียบง่ายไม่ซับซ้อน มีสมรรถนะในการคำนวณตรวจจับ荷าร์มอนิกที่ดี นอกเหนือนี้ยังมีรูปแบบการชดเชยที่หลากหลาย เช่น การชดเชย荷าร์มอนิก การชดเชยค่ากำลังแอกทีฟ (active power : P) รวมไปถึงการชดเชยค่ากำลังรีแอกทีฟ (reactive power : Q) เพื่อปรับปรุงค่าตัวประกอบกำลัง (power factor : pf) ซึ่งมีความเหมาะสมในการนำมาใช้คำนวณตรวจจับ荷าร์มอนิกในระบบแรงไฟฟ้ากระแสสลับแบบเฟสร่วม โดยในบทนี้จะนำเสนอการประยุกต์ใช้วิธี PQ แบบตั้งเดิมให้สามารถคำนวณตรวจจับ荷าร์มอนิกของระบบแรงไฟฟ้าได้พร้อมกันทั้งสองเฟส (เฟส M และ T) ในหนึ่งบล็อกการคำนวณรวมไปถึงการนำวิเคราะห์ฟูริเยร์แบบวินโดว์เลื่อน (Sliding Window Fourier Analysis : SWFA) มาประยุกต์ใช้ร่วมกับการคำนวณตรวจจับ荷าร์มอนิกด้วยวิธี PQ นอกเหนือนี้ยังนำเสนอการใช้วิธีการตรวจจับแรงดันลำดับเฟสบวกมูลฐาน (Positive Sequence Voltage Detector : PSVD) ร่วมกับการคำนวณตรวจจับ荷าร์มอนิกเพื่อลดความผิดพลาดในการคำนวณตรวจจับ荷าร์มอนิกในกรณีที่แหล่งจ่ายแรงดันไฟฟ้ามี荷าร์มอนิกปะปน โดยรายละเอียดของระบบแรงไฟฟ้าที่พิจารณาจำลองสถานการณ์ทดสอบการคำนวณตรวจจับ荷าร์มอนิกจะนำเสนอในหัวข้อที่ 3.2 การคำนวณตรวจจับ荷าร์มอนิกด้วยวิธีทฤษฎีกำลังรีแอกทีฟขณะหนึ่งสำหรับระบบแรงไฟฟ้ากระแสสลับแบบเฟสร่วม จะนำเสนอในหัวข้อที่ 3.3 การประยุกต์ใช้วิเคราะห์ฟูริเยร์แบบวินโดว์เลื่อนร่วมกับการคำนวณตรวจจับ荷าร์มอนิกด้วยวิธี PQ จะนำเสนอในหัวข้อที่ 3.4 การตรวจจับแรงดันลำดับเฟสบวกมูลฐานจะนำเสนอในหัวข้อที่ 3.5 และการทดสอบเบรียบเทียบสมรรถนะการคำนวณตรวจจับ荷าร์มอนิกในระบบแรงไฟฟ้ากระแสสลับแบบเฟสร่วมจะนำเสนอในหัวข้อที่ 3.6

3.2 ระบบรางไฟฟ้าที่พิจารณาจำลองสถานการณ์การคำนวณตรวจสอบจับ荷าร์มอนิก

ระบบรางไฟฟ้าที่พิจารณาทดสอบการคำนวณตรวจสอบจับ荷าร์มอนิกจะเลือกใช้ระบบรางไฟฟ้ากระแสสลับแบบเฟสร่วมที่มีการส่งจ่ายกำลังไฟฟ้าด้วยระบบสายส่งเหนือศีรีระหง (overhead catenary) โดยระบบตั้งกล่าวสามารถแสดงได้ดังรูปที่ 3.1



รูปที่ 3.1 ระบบรางไฟฟ้าที่พิจารณาจำลองสถานการณ์ทดสอบการคำนวณตรวจสอบจับ荷าร์มอนิก

จากรูปที่ 3.1 ระบบรางไฟฟ้าที่พิจารณาจะประกอบไปด้วย 3 ส่วน คือ ระบบส่งจ่ายกำลังไฟฟ้าของระบบรางไฟฟ้า บล็อกการคำนวณตรวจสอบจับ荷าร์มอนิก และวงจรกรองกำลังแอคทีฟแบบขานาน (Shunt Active Power Filter : SAPF) โดยสามารถแสดงรายละเอียดของแต่ละส่วนได้ดังนี้

ส่วนที่ 1 ระบบส่งจ่ายกำลังไฟฟ้าให้กับระบบรางไฟฟ้า ประกอบด้วย กริดส่งจ่ายกำลังไฟฟ้าสามเฟส (three-phase power grid) ที่พิกัดแรงดัน 69 kV ความถี่ 60 Hz สถานีส่งจ่ายกำลังไฟฟ้า (substation) ให้กับระบบรางไฟฟ้ากระแสสลับแบบเฟสร่วมที่ใช้หม้อแปลงชนิดเลอบลองค์ (le-blanc transformer) เพื่อแปลงจากระบบไฟฟ้ากำลังสามเฟสเป็นระบบไฟฟ้ากำลังสองเฟส (เฟส M และ T) ที่พิกัดแรงดัน 26 kV ความถี่ 60 Hz โดยทั้งสองเฟสจะเชื่อมตอกับโหลดรถไฟฟ้า (traction load) โดยโหลดรถไฟฟ้าตั้งกล่าวจะถูกแทนด้วยแหล่งไฟฟ้ากำลังจ่ายกระแสสูตรดมคติ (ideal current source) ที่ประกอบไปด้วยองค์ประกอบอนุลักษณ์และองค์ประกอบ荷าร์มอนิกที่เกิดขึ้นจริงในระบบรางไฟฟ้าของประเทศไทย (Sy-Ruen and Bing-Nan, 2002) ดังแสดงในตารางที่ 3.1

ส่วนที่ 2 บล็อกการคำนวณตรวจจับ荷าร์มอนิก เป็นส่วนที่ใช้ในการคำนวณตรวจจับกระแส荷าร์มอนิกสำหรับใช้เป็นกระเสอ้างอิงให้กับวงจรกรองกำลังแยกทีฟแบบขานาในการฉีดกระแสชดเชยกำจัด荷าร์มอนิกในระบบรางไฟฟ้าที่พิจารณา โดยในงานวิจัยวิทยานิพนธ์นี้จะนำเสนอการประยุกต์วิธีทฤษฎีกำลังรีแยกทีฟขณะหนึ่ง หรือวิธี PQ สำหรับคำนวณตรวจจับ荷าร์มอนิกในระบบรางไฟฟ้ากระแสลับแบบเฟสร่วม

ส่วนที่ 3 วงจรกรองกำลังแยกทีฟแบบขานา ใน การทดสอบการคำนวณตรวจจับ荷าร์มอนิก จะแทนที่วงจรกรองกำลังแยกทีฟแบบขานาด้วยแหล่งจ่ายกระแสอุดมคติ สำหรับฉีดกระแสชดเชยกำจัด荷าร์มอนิกเพื่อพิจารณาเฉพาะผลของการคำนวณตรวจจับ荷าร์มอนิก โดยไม่พิจารณาถึงผลจากโครงสร้างของวงจรกรองกำลังแยกทีฟแบบขานาร่วมถึงผลของระบบควบคุม ส่งผลให้กระแสชดเชย (i_{CM}, i_{CT}) ของห้องสองเฟสจะมีลักษณะสัญญาณเช่นเดียวกับกระเสอ้างอิง (i_{CM}^*, i_{CT}^*) ที่ได้จากบล็อกการคำนวณตรวจจับ荷าร์มอนิกทุกประการ

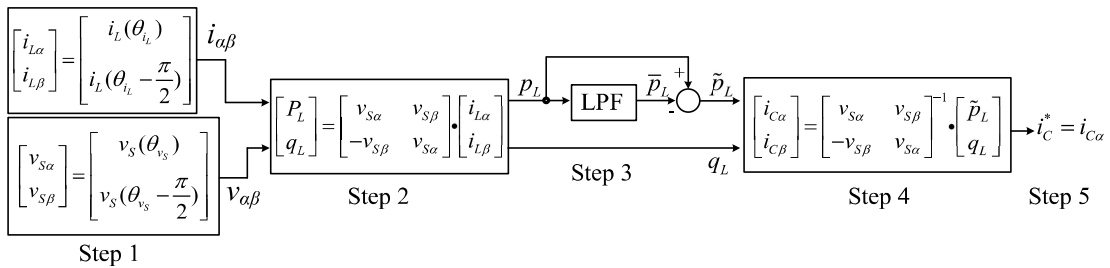
ตารางที่ 3.1 องค์ประกอบมูลฐานและองค์ประกอบหาร์มอนิกในระบบแรงไฟฟ้าของประเทศไทยตัวหัวน้ำ

อันดับหาร์มอนิก (h)	กระแสโหลด (A)	ร้อยละ (%)
1	221.000	100.000
3	39.900	18.100
5	26.110	11.820
7	5.760	2.610
11	4.224	1.910
13	2.880	1.303
17	4.224	1.911
19	4.992	2.260
23	2.230	1.010
25	1.250	0.566
29	1.630	0.740
31	2.496	1.130
35	1.152	0.521
37	1.152	0.521
41	1.050	0.475
43	0.860	0.390
47	1.050	0.475
49	1.250	0.566

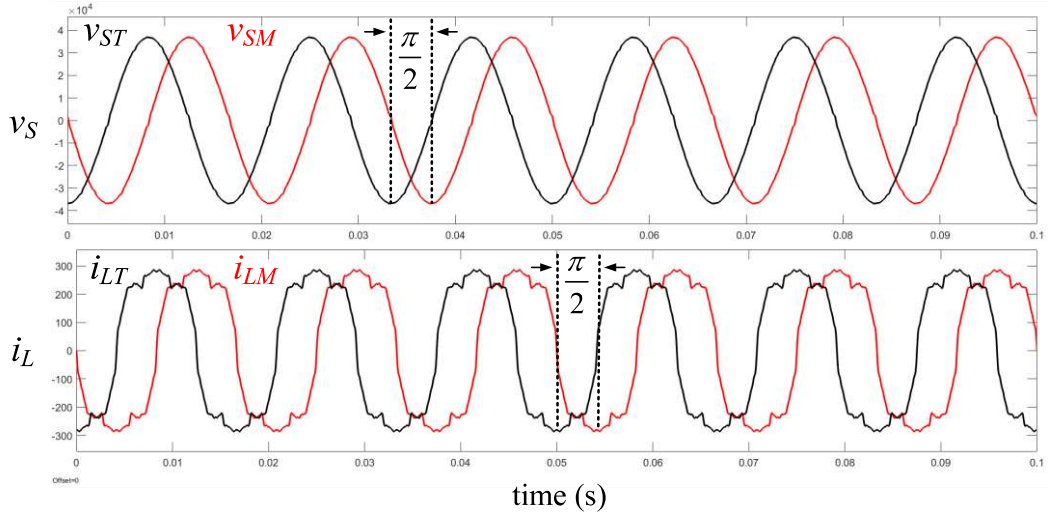
3.3 การคำนวณตรวจจับหาร์มอนิกด้วยวิธีทฤษฎีกำลังรีแอกทีฟขณะหนึ่งสำหรับระบบแรงไฟฟ้ากระแสสลับแบบเฟสร่วม

การคำนวณตรวจจับหาร์มอนิกด้วยวิธีทฤษฎีกำลังรีแอกทีฟขณะหนึ่ง หรือวิธี PQ แบบดั้งเดิม สำหรับระบบไฟฟ้ากำลังหนึ่งเฟส (Akagi H. and et al., 1984) สามารถแสดงแผนภาพขั้นตอน การคำนวณตรวจจับหาร์มอนิกได้ดังรูปที่ 3.2 เนื่องจากวิธีดังกล่าวเป็นการคำนวณตรวจจับหาร์มอนิก ในระบบไฟฟ้ากำลังหนึ่งเฟส การนำมาใช้งานในระบบแรงไฟฟ้ากระแสสลับแบบเฟสร่วมจะจำเป็น จะต้องใช้บล็อกการคำนวณตรวจจับหาร์มอนิกทั้งหมดจำนวน 2 บล็อกเพื่อคำนวณตรวจจับหาร์มอนิก แยกในแต่ละเฟสของระบบแรงไฟฟ้า (เฟส M และ T) จากแผนภาพการคำนวณตรวจจับหาร์มอนิก ด้วยวิธี PQ แบบดั้งเดิมดังแสดงในรูปที่ 3.2 พบร้า ในขั้นตอนแรกของการคำนวณ (step 1) มีการกำหนดให้แรงดันไฟฟ้าที่แหล่งจ่าย (v_s) และกระแสโหลด (i_L) ของระบบที่พิจารณาเป็นปริมาณ แรงดันไฟฟ้าบนแกน $\alpha\beta$ ($v_{S\alpha}, v_{S\beta}$) และกระแสไฟฟ้าบนแกน $\alpha\beta$ ($i_{L\alpha}, i_{L\beta}$) โดยที่ $v_{S\alpha}$ และ $i_{L\alpha}$ จะมีขนาดและมุ่งเฟสเท่ากับ v_s และ i_L ตามลำดับ ในขณะที่ $v_{S\beta}$ และ $i_{L\beta}$ จะมีขนาดเท่ากับ v_s

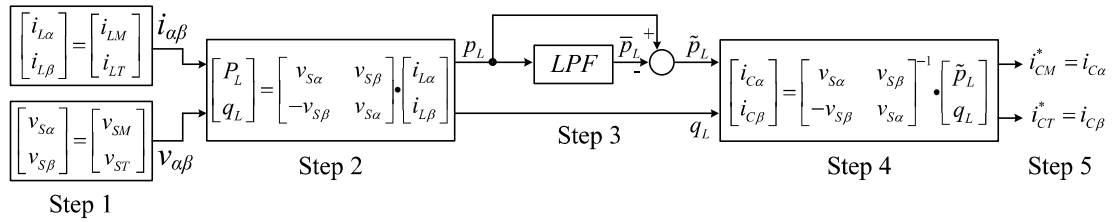
และ i_L แต่จะมีมุมเฟสเลื่อนไปเท่ากับ $\frac{\pi}{2}$ ตามลำดับ จากขั้นตอนดังกล่าวเมื่อพิจารณารวมกับลักษณะของกระแสโหนด (i_L) และแรงดันไฟฟ้าที่แหล่งจ่าย (v_s) ที่ระบบไฟฟ้ากำลังสองเฟสของระบบระเบียบกระแสลับแบบเฟสร่วม พบร้า แรงดันไฟฟ้าที่แหล่งจ่าย และกระแสโหนดของเฟส M และ T มีขนาดเท่ากันแต่จะมีมุมเฟสต่างกันอยู่ $\frac{\pi}{2}$ ดังแสดงในรูปที่ 3.3 ซึ่งมีความสอดคล้องกับการกำหนดค่ากระแสโหนด และแรงดันไฟฟ้าบนแกน $\alpha\beta$ ในขั้นตอนแรกของการคำนวณตรวจจับชาร์มอนิกด้วยวิธี PQ แบบดังเดิม ด้วยเหตุนี้ในงานวิจัยวิทยานิพนธ์นี้จึงประยุกต์ใช้วิธี PQ แบบดังเดิมให้สามารถคำนวณตรวจจับชาร์มอนิกได้พร้อมกันทั้งสองเฟสด้วยการใช้บล็อกการคำนวณตรวจจับชาร์มอนิกเพียงบล็อกเดียว โดยจะกำหนดให้แรงดันไฟฟ้าที่แหล่งจ่ายของเฟส M มีค่าเท่ากับแรงดันไฟฟ้าบนแกน α และดันไฟฟ้าที่แหล่งจ่ายของเฟส T มีค่าเท่ากับแรงดันไฟฟ้าบนแกน β และกระแสโหนดของเฟส M มีค่าเท่ากับกระแสไฟฟ้าบนแกน α กระแสโหนดของเฟส T มีค่าเท่ากับกระแสไฟฟ้าบนแกน β แทนในขั้นตอนแรกของการคำนวณ สำหรับขั้นตอนที่เหลือ (step 2 - 5) จะดำเนินการคำนวณตามขั้นตอนของวิธี PQ แบบดังเดิมดัง วิธี PQ สำหรับระบบระเบียบไฟฟ้ากระแสลับแบบเฟสร่วมสามารถแสดงแผนภาพขั้นตอนการคำนวณตรวจจับชาร์มอนิกได้ดังรูปที่ 3.4 โดยสามารถแสดงรายละเอียดการคำนวณในแต่ละขั้นตอนได้ดังนี้



รูปที่ 3.2 แผนภาพการคำนวณตรวจจับชาร์มอนิกด้วยวิธี PQ แบบดังเดิม



รูปที่ 3.3 แรงดันไฟฟ้าที่แหล่งจ่าย และกระแสโหลดของเฟส M และ T



รูปที่ 3.4 แผนภาพการคำนวณตรวจจับ荷าร์มอนิกด้วยวิธี PQ สำหรับระบบรางไฟฟ้ากระแสสลับแบบเฟสร่วม

จากรูปที่ 3.4 สามารถอธิบายขั้นตอนการคำนวณตรวจจับ荷าร์มอนิกด้วยวิธี PQ สำหรับระบบรางไฟฟ้ากระแสสลับแบบเฟสร่วมได้ดังนี้

ขั้นตอนที่ 1 ทำการกำหนดแรงดันไฟฟ้าที่แหล่งจ่าย (v_{SM}, v_{ST}) และกระแสโหลดของระบบรางไฟฟ้า (i_{LM}, i_{LT}) เป็นปริมาณแรงดันไฟฟ้าบนแกน $\alpha\beta$ ($v_{S\alpha}, v_{S\beta}$) และกระแสไฟฟ้าบนแกน $\alpha\beta$ ($i_{L\alpha}, i_{L\beta}$) ดังสมการที่ (3.1) และ (3.2) ตามลำดับ

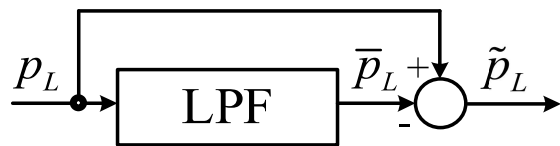
$$\begin{bmatrix} v_{S\alpha} \\ v_{S\beta} \end{bmatrix} = \begin{bmatrix} v_{SM} \\ v_{ST} \end{bmatrix} \quad (3.1)$$

$$\begin{bmatrix} i_{L\alpha} \\ i_{L\beta} \end{bmatrix} = \begin{bmatrix} i_{LM} \\ i_{LT} \end{bmatrix} \quad (3.2)$$

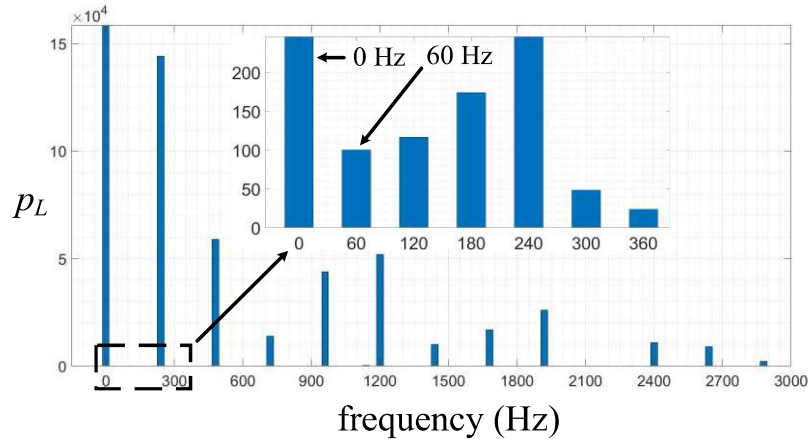
ขั้นตอนที่ 2 คำนวณค่ากำลังแยกทีฟขณะหนึ่งที่โหลด (p_L) และกำลังรีแยกทีฟขณะหนึ่งที่โหลด (q_L) โดยใช้ค่าแรงดันไฟฟ้าและกระแสไฟฟ้าบนแกน $\alpha\beta$ ดังสมการที่ (3.3)

$$\begin{bmatrix} p_L \\ q_L \end{bmatrix} = \begin{bmatrix} v_{S\alpha} & v_{S\beta} \\ -v_{S\beta} & v_{S\alpha} \end{bmatrix} \bullet \begin{bmatrix} i_{L\alpha} \\ i_{L\beta} \end{bmatrix} \quad (3.3)$$

ขั้นตอนที่ 3 แยกองค์ประกอบ harmonic อนิกของกำลังแยกทีฟ (\tilde{p}_L) ออกจากกำลังแยกทีฟ (p_L) โดยใช้วงจรกรองแบบความถี่ต่ำผ่าน (Low Pass Filter : LPF) ดังแสดงในรูปที่ 3.5 เมื่อพิจารณากราฟสเปกตรัมของกำลังแยกทีฟ (p_L) ดังรูปที่ 3.6 พบร่วมกับ กำลังแยกทีฟมูลฐาน (\bar{p}_L) (อันดับ 0) มีค่าความถี่เท่ากับ 0 Hz และปรากฏกำลังแยกทีฟาร์มอนิก (\tilde{p}_L) อันดับแรกมีความถี่เท่ากับ 60 Hz จึงกำหนดใช้วงจร LPF อันดับที่ 2 ที่มีค่าความถี่ตัดเท่ากับ 30 Hz ซึ่งเป็นค่ากึ่งกลางระหว่างค่ามูลฐานและหาร์มอนิกอันดับแรก



รูปที่ 3.5 การใช้วงจร LPF ในการแยกองค์ประกอบหาร์มอนิกของกำลังแยกทีฟ



รูปที่ 3.6 สเปกตรัมของกำลังไฟฟ้าแยกทีฟในระบบรางไฟฟ้าที่พิจารณาจำกัดฮาร์มอนิก

ขั้นตอนที่ 4 คำนวณกระแสไฟฟ้าสำหรับการชดเชยบนแกน $\alpha\beta$ ($i_{C\alpha}, i_{C\beta}$) ดังสมการที่ (3.4)

$$\begin{bmatrix} i_{C\alpha} \\ i_{C\beta} \end{bmatrix} = \begin{bmatrix} v_{S\alpha} & v_{S\beta} \\ -v_{S\beta} & v_{S\alpha} \end{bmatrix}^{-1} \cdot \begin{bmatrix} \tilde{p}_L \\ q_L \end{bmatrix} \quad (3.4)$$

ขั้นตอนที่ 5 กำหนดให้กระแสเดียวของเฟส M (i_{CM}^*) มีค่าเท่ากับกระแสเดียวบนแกน α ($i_{C\alpha}$) และกระแสเดียวของเฟส T (i_{CT}^*) มีค่าเท่ากับกระแสเดียวบนแกน β ($i_{C\beta}$) ดังสมการที่ (3.5) โดยกระแสเดียวจะถูกนำไปใช้เป็นกระแสอ้างอิงสำหรับการชดเชยของวงจรรองกำลัง แยกทีฟแบบบานานในการฉีดกระแสเดียวบนแกน $\alpha\beta$ จำกัดฮาร์มอนิกในระบบรางไฟฟ้ากระแสสลับแบบเฟสร่วมต่อไป

$$\begin{bmatrix} i_{C\alpha} \\ i_{C\beta} \end{bmatrix} = \begin{bmatrix} i_{CM}^* \\ i_{CT}^* \end{bmatrix} \quad (3.5)$$

3.4 การประยุกต์ใช้วิธีวิเคราะห์ฟูริเยร์แบบบินโดว์เลื่อนในการคำนวณตรวจจับ สารมอนิกด้วยวิธี PQ สำหรับระบบบางไฟฟ้ากระแสสลับแบบเฟสร่วม

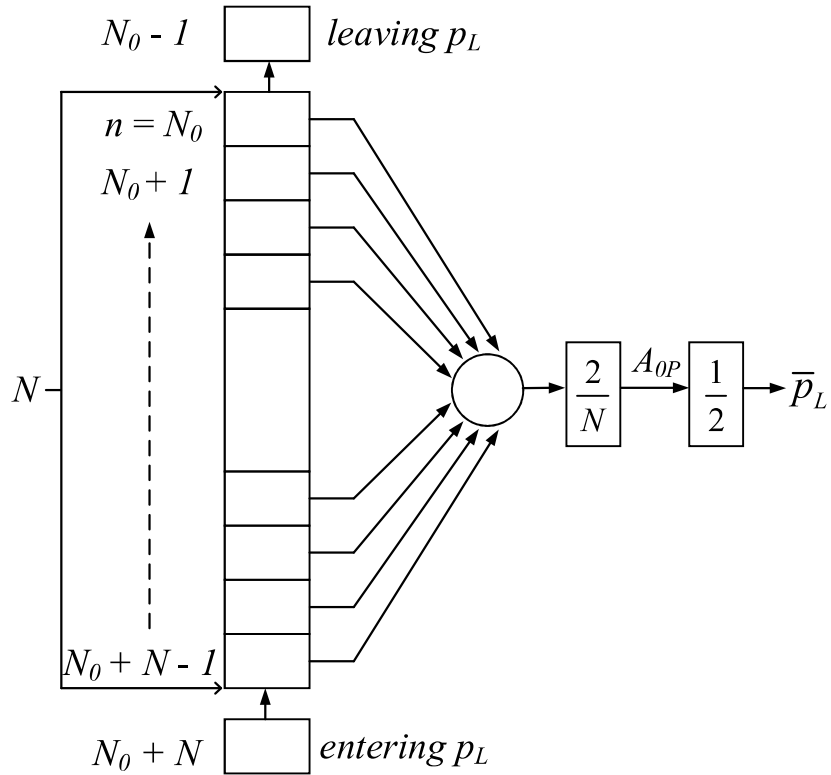
ในหัวข้อนี้จะนำเสนอการประยุกต์ใช้วิเคราะห์ฟูริเยร์แบบบินโดว์เลื่อน (Sliding Window Fourier Analysis : SWFA) ในการแยกองค์ประกอบของสารมอนิกของกำลังแอกทีฟ (\tilde{p}_L) แทนการใช้วงจร LPF ซึ่งเป็นหนึ่งในขั้นตอนสำคัญในการคำนวณตรวจจับสารมอนิกด้วยวิธี PQ (ขั้นตอนที่ 3) ดังแสดงในรูปที่ 3.7 โดยวิธี PQ ร่วมกับวิธี SWFA ดังกล่าวจะเรียกว่าวิธีพีคิวเอฟ (PQF)



รูปที่ 3.7 การใช้วิธี SWFA ในการแยกองค์ประกอบของสารมอนิกของกำลังแอกทีฟ

ค่ากำลังแอกทีฟจะประกอบไปด้วยเทอมกำลังไฟฟ้ากระแสตรง (DC component) และเทอมกำลังไฟฟ้ากระแสสลับ (AC component) ดังแสดงในสมการที่ (3.6) การใช้วิธี SWFA ในการแยกองค์ประกอบของสารมอนิกของกำลังแอกทีฟจะเริ่มจากการคำนวณค่ากำลังไฟฟ้ากระแสตรงซึ่งเป็นปริมาณมูลฐานของกำลังแอกทีฟ (\bar{p}_L) จากนั้นจะนำ \bar{p}_L ที่ได้จากการคำนวณมาหักลบกับค่ากำลังแอกทีฟ (p_L) เพื่อคำนวณค่า \tilde{p}_L โดยขั้นตอนในการคำนวณค่า \bar{p}_L สามารถแสดงแผนภาพได้ดังรูปที่ 3.8

$$P_L(kT_s) = \frac{A_{0p}}{2} + \overbrace{\sum_{h=1}^{\infty} [A_{hp} \cos(h\omega kT_s) + B_{hp} \sin(h\omega kT_s)]}^{AC components} \quad (3.6)$$



รูปที่ 3.8 การคำนวณหาค่า A_{0P} และค่า \bar{p}_L

จากรูปที่ 3.8 การคำนวณค่า \bar{p}_L จะเริ่มต้นจากการเก็บข้อมูลของกำลังออกทีฟ (p_L) มาจำนวนหนึ่งควบข้องความถี่มูลฐาน โดยกำหนดให้มีจำนวน N ข้อมูล เพื่อใช้สำหรับคำนวณค่าสัมประสิทธิ์ A_{0P} ดังสมการที่ (3.7) จากนั้นจึงนำค่า A_{0P} ไปใช้คำนวณค่า \bar{p}_L ตามสมการที่ (3.8)

$$A_{0P} = \frac{2}{N} \sum_{n=N_0}^{N_0+N-1} p_L(nT_s) \quad (3.7)$$

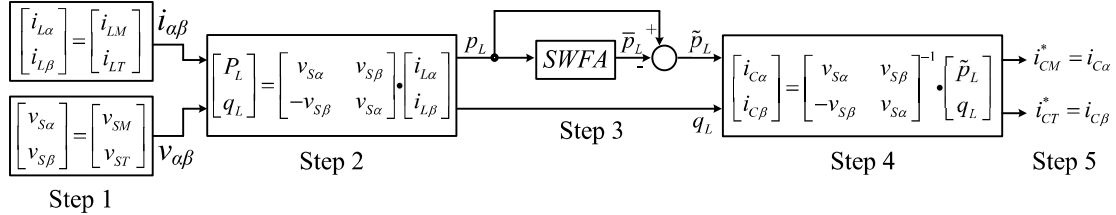
$$\bar{p}_L = \frac{A_{0P}}{2} \quad (3.8)$$

หลังจากเก็บค่าครบ N ข้อมูล หรือครบ 1 คาบจะนำ \bar{p}_L ที่ได้มาหักลบออกจากค่า p_L เพื่อคำนวณค่า \tilde{p}_L ดังสมการที่ (3.9)

$$\tilde{p}_L = p_L - \bar{p}_L \quad (3.9)$$

ในการคำนวณรอบถัดไปจะทำการดึงค่า p_L ที่ตำแหน่ง N_0 ออกจากชุดข้อมูล N โดยกำหนดให้เป็น $N_0 - 1$ ในขณะเดียวกันก็จะรับข้อมูลค่าใหม่จาก p_L ที่ตำแหน่ง $N_0 + N$ มาเก็บไว้ในชุดข้อมูล N โดยกำหนดเป็น $N_0 + N - 1$ และคำนวณค่า $A_{0,p}$ \bar{p}_L และ \tilde{p}_L ค่าใหม่ดังสมการที่ (3.7) (3.8) และ (3.9) ตามลำดับ

สำหรับค่า \tilde{p}_L ที่คำนวณได้จะถูกใช้ในการคำนวณตรวจจับฮาร์มอนิกในขั้นตอนที่ 4 และ 5 ของวิธี PQ สำหรับระบบแรงไฟฟ้ากระแสสลับแบบเฟสร่วมต่อไป โดยแผนภาพการคำนวณตรวจจับฮาร์มอนิกด้วยวิธี PQF สามารถแสดงได้ดังรูปที่ 3.9

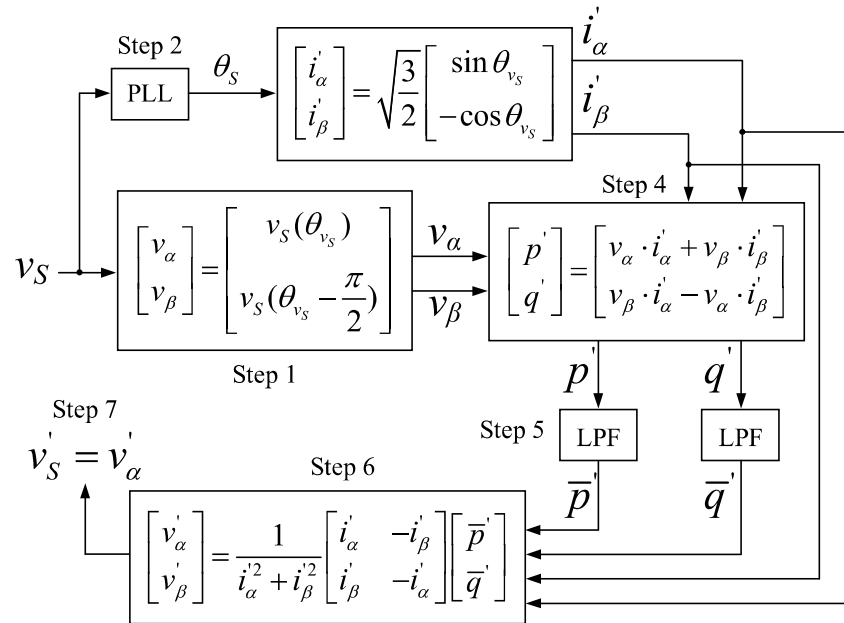


รูปที่ 3.9 แผนภาพการคำนวณตรวจจับฮาร์มอนิกด้วยวิธี PQF สำหรับระบบแรงไฟฟ้ากระแสสลับแบบเฟสร่วม

3.5 การตรวจจับแรงดันลำดับเฟสบวกมูลฐาน

การคำนวณตรวจจับฮาร์มอนิกด้วยวิธี PQF จะสามารถคำนวณค่ากระแสและอัตราส่วนอย่างถูกต้องก็ต่อเมื่อแรงดันไฟฟ้าที่เหลือจ่ายของระบบไฟฟ้ากำลังมีลักษณะเป็นรูปไซน์บริสุทธิ์ แต่ในกรณีที่เกิดฮาร์มอนิกประปนที่แรงดันไฟฟ้าที่เหลือจ่ายซึ่งเกิดการใช้งานโหลดที่ไม่เป็นเชิงเส้น (non-linear load) เช่น วงจรแปรผันกำลังไฟฟ้า อุปกรณ์อิเล็กทรอนิกส์ต่าง ๆ เป็นต้น (George J. Wakileh, Power System Harmonics: Fundamentals, Analysis, and Filter Design, 2001) จะทำให้การคำนวณตรวจจับฮาร์มอนิกเกิดความผิดพลาดได้ ซึ่งส่งผลเสียต่อประสิทธิผลการกำจัดฮาร์มอนิกของวงจรกรองกำลังแยกทีฟแบบขานาน ในหัวข้อนี้จึงนำเสนอการใช้วิธีการตรวจจับแรงดันลำดับเฟสบวกมูลฐาน (Positive Sequence Voltage Detector : PSVD) ซึ่งถูกนำมาเสนอโดย M. Aredes และคณะ

ในปี 1997 (M. Aredes and et al., 1997) เพื่อนำมาใช้ร่วมกับการคำนวณตรวจจับ harmonic อนิกด้วยวิธี PQF เพื่อให้สามารถคำนวณตรวจจับ harmonic อนิกได้อย่างถูกต้องแม่นยำในกรณีที่มี harmonic อนิกประปนที่แรงดันไฟฟ้าที่เหล่งจ่ายที่ระบบไฟฟ้ากำลังสามเฟส หรือที่ระบบไฟฟ้ากำลังสองเฟสของระบบบรรทุกไฟฟ้า โดยในงานวิจัยวิทยานิพนธ์นี้จะใช้บล็อกการคำนวณ PSVD จำนวนทั้งหมด 2 บล็อกเพื่อคำนวณแรงดันลำดับไฟسبวกมูลฐานแยกในแต่ละเฟสของระบบไฟฟ้ากำลังสองเฟส (เฟส M และ T) สำหรับแผนภาพขั้นตอนการคำนวณของวิธี PSVD สามารถแสดงได้ดังรูปที่ 3.10 โดยสามารถแสดงรายละเอียดการคำนวณในแต่ละขั้นตอนได้ดังนี้



รูปที่ 3.10 แผนภาพการคำนวณตรวจจับแรงดันลำดับไฟسبวกมูลฐานด้วยวิธี PSVD

ขั้นตอนที่ 1 ทำการแปลงแรงดันไฟฟ้าที่เหล่งจ่ายที่ระบบไฟฟ้ากำลังสองเฟส (v_s) เป็นแรงดันไฟฟ้าบนแกน $\alpha\beta$ (v_α, v_β) ดังสมการที่ (3.10)

$$\begin{bmatrix} v_\alpha \\ v_\beta \end{bmatrix} = \begin{bmatrix} v_s(\theta_{v_s}) \\ v_s(\theta_{v_s} - \frac{\pi}{2}) \end{bmatrix} \quad (3.10)$$

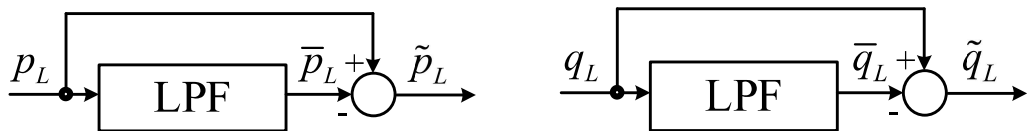
ขั้นตอนที่ 2 คำนวณค่ามุมของแรงดันไฟฟ้าที่ระบบไฟฟ้ากำลังสองเฟส (θ_{v_s}) ด้วยวงจรเฟสล็อกลูป (Phase Lock Loop : PLL) โดยในที่นี้จะใช้บล็อก PLL ที่มีอยู่ในโปรแกรม Simulink/MATLAB เพื่อนำไปคำนวณหาค่ากระแสบนแกน $\alpha\beta$ ($i_\alpha^{'}, i_\beta^{'} \right)$ ดังสมการที่ (3.11)

$$\begin{bmatrix} i_\alpha^{'} \\ i_\beta^{'} \end{bmatrix} = \sqrt{\frac{3}{2}} \begin{bmatrix} \sin \theta_{v_s} \\ -\cos \theta_{v_s} \end{bmatrix} \quad (3.11)$$

ขั้นตอนที่ 3 ทำการคำนวณค่ากำลังไฟฟ้าสนับสนุน (auxiliary instantaneous power) ($p^{'}, q^{'}$) ดังสมการที่ (3.12)

$$\begin{bmatrix} p^{'} \\ q^{'} \end{bmatrix} = \begin{bmatrix} v_\alpha \cdot i_\alpha^{'} & v_\beta \cdot i_\beta^{'} \\ v_\beta \cdot i_\alpha^{'} & v_\alpha \cdot i_\beta^{'} \end{bmatrix} \quad (3.12)$$

ขั้นตอนที่ 4 แยกองค์ประกอบของ $p^{'}$ และ $q^{'}$ โดยแยกองค์ประกอบมูลฐาน ($\bar{p}^{'}, \bar{q}^{'}$) ออกจากองค์ประกอบฮาร์มอนิก ($\tilde{p}^{'}, \tilde{q}^{'}$) โดยใช้วงจร LPF ดังแสดงในรูปที่ 3.11



รูปที่ 3.11 การใช้วงจร LPF ในการแยกองค์ประกอบฮาร์มอนิกของกำลังไฟฟ้าสนับสนุน ($p^{'}, q^{'}$)

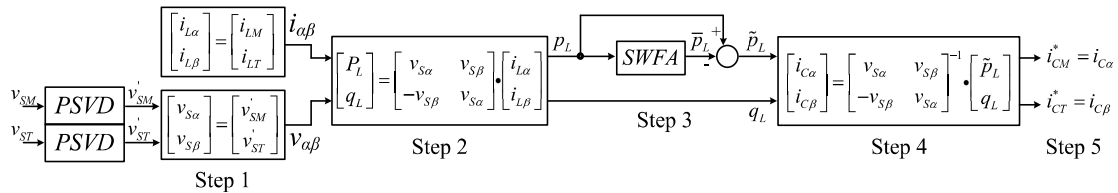
ขั้นตอนที่ 5 คำนวณค่าแรงดันไฟฟ้าอ้างอิงบนแกน $\alpha\beta$ ($v_\alpha^{'}, v_\beta^{'}$) ดังสมการที่ (3.13)

$$\begin{bmatrix} v_\alpha^{'} \\ v_\beta^{'} \end{bmatrix} = \frac{1}{i_\alpha^{'2} + i_\beta^{'2}} \begin{bmatrix} i_\alpha^{'} & -i_\beta^{'} \\ i_\beta^{'} & -i_\alpha^{'} \end{bmatrix} \begin{bmatrix} \bar{p}^{'} \\ \bar{q}^{'} \end{bmatrix} \quad (3.13)$$

ขั้นตอนที่ 6 กำหนดให้ค่าแรงดันไฟฟ้าที่ระบบไฟฟ้ากำลังสองเฟสลำดับเฟสบวก (v_s') มีค่าเท่ากับค่าแรงดันไฟฟ้าอ้างอิงบนแกน α (v_α') ดังสมการที่ (3.14) โดยแรงดันไฟฟ้าตั้งกล่าวจะถูกนำไปใช้ในการคำนวณตรวจจับ荷าร์มอนิกต่อไป

$$[v_s'] = [v_\alpha'] \quad (3.14)$$

สำหรับการคำนวณตรวจจับ荷าร์มอนิกด้วยวิธี PQF ร่วมกับวิธี PSVD (วิธี PQF ร่วมกับ PSVD) สามารถแสดงแผนภาพขั้นตอนการคำนวณตรวจจับ荷าร์มอนิกได้ดังรูปที่ 3.12 จากแผนภาพดังกล่าว จะเห็นว่าบล็อกของการคำนวณ PSVD ทั้ง 2 บล็อกจะคำนวณตรวจจับแรงดันลำดับเฟสบวกมูลฐานของเฟส M และ T ก่อนนำค่าแรงดันตั้งกล่าวไปใช้ในการคำนวณตรวจจับ荷าร์มอนิกด้วยวิธี PQF ต่อไป



รูปที่ 3.12 การคำนวณตรวจจับ荷าร์มอนิกด้วยวิธี PQF ร่วมกับวิธี PSVD

3.6 การทดสอบเบรียบเทียบการคำนวณตรวจจับ荷าร์มอนิกในระบบแรงไฟฟ้ากระแสสลับแบบเฟสร่วม

ในหัวข้อนี้จะนำเสนอการทดสอบเบรียบเทียบสมรรถนะการตรวจจับ荷าร์มอนิกในระบบแรงไฟฟ้ากระแสสลับแบบเฟสร่วมด้วยวิธี PQ และวิธี PQF โดยการทดสอบจะใช้ระบบแรงไฟฟ้าที่พิจารณาดังแสดงในรูปที่ 3.1 และจะใช้ค่า %THD ของกระแสที่แหล่งจ่ายภายหลังการทดเชย เป็นตัวชี้วัดประสิทธิผล ซึ่งค่า %THD สามารถคำนวณได้จากสมการที่ (3.15) สำหรับการทดสอบสมรรถนะการตรวจจับ荷าร์มอนิกจะแบ่งออกเป็น 2 กรณี คือ กรณีที่ 1 แหล่งจ่ายแรงดันไฟฟ้าเป็นรูปไชน์บิสท์ และกรณีที่ 2 แหล่งจ่ายแรงดันไฟฟ้ามี荷าร์มอนิกปะปน โดยสามารถแสดงรายละเอียดการทดสอบในแต่ละกรณีดังนี้

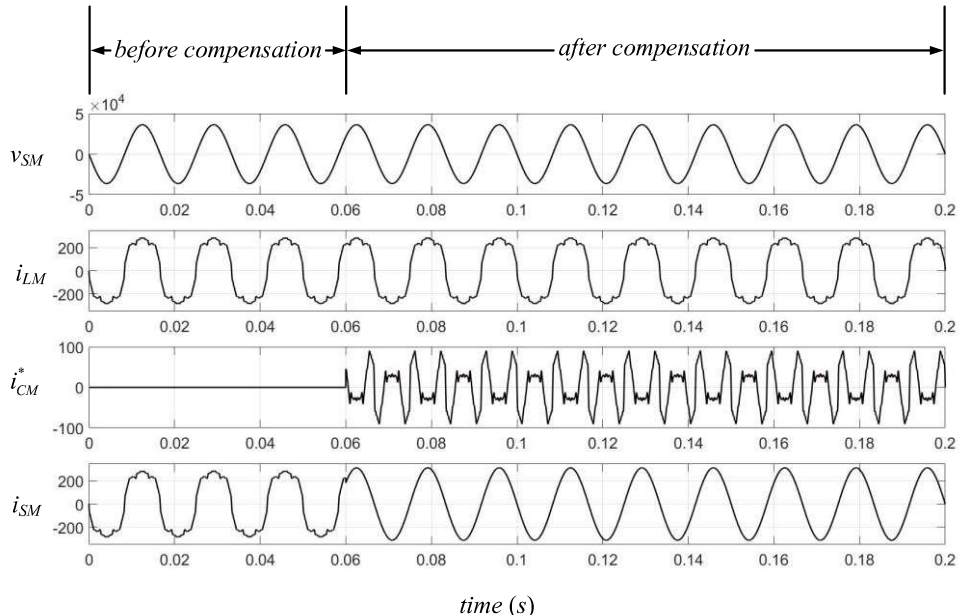
$$\%THD_i = \frac{\sqrt{\sum_{h=2}^{50} I_h^2}}{I_1} \times 100\% \quad (3.15)$$

โดยที่ I_1 คือ ค่ากระแสที่ความถี่มูลฐาน 60 Hz

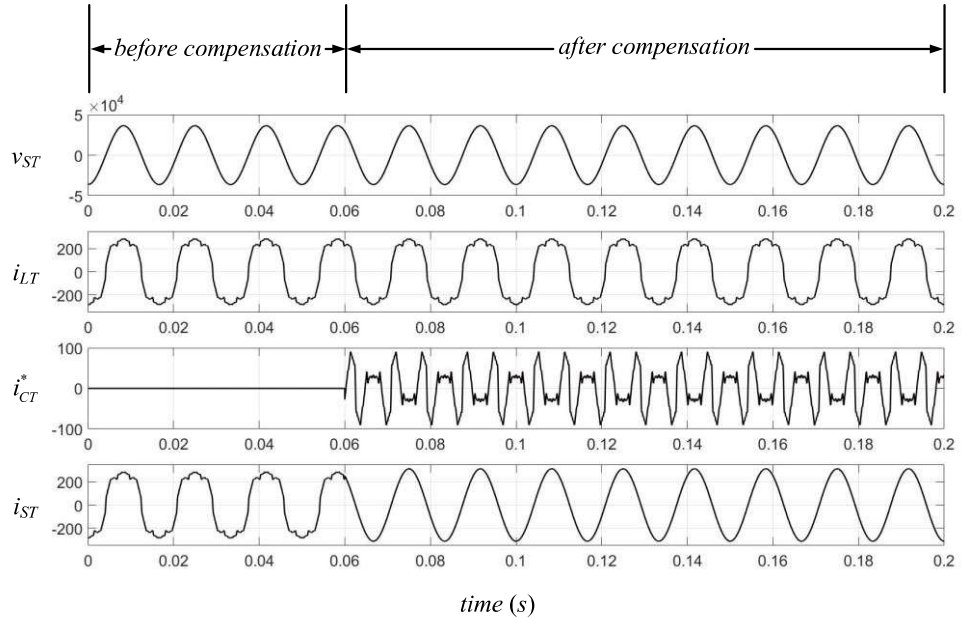
I_h คือ ค่ากระแสที่ความถี่หาร์มอนิกอันดับ 2 ถึง 50

3.6.1 การทดสอบกรณีที่ 1 แหล่งจ่ายแรงดันไฟฟ้าเป็นรูปไซน์บริสุทธิ์

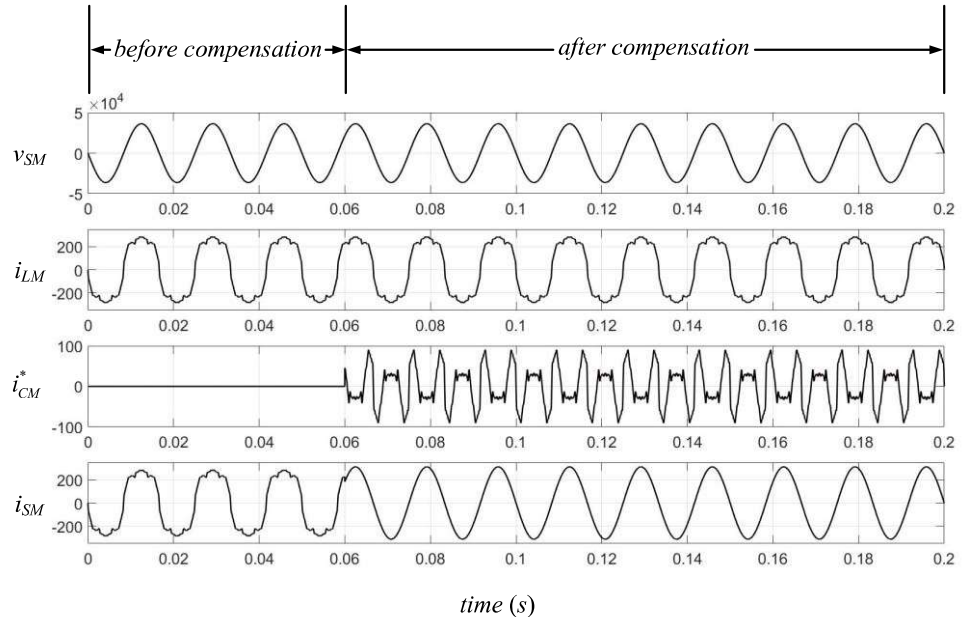
การทดสอบสมรรถนะการคำนวณตรวจจับ荷าร์มอนิกในกรณีที่แหล่งจ่ายแรงดันไฟฟ้าของระบบไฟฟ้าที่พิจารณาเป็นรูปไซน์บริสุทธิ์จะทำการเปรียบเทียบระหว่างการใช้ วิธี PQ ที่ใช้วงจร LPF และวิธี PQF ที่ประยุกต์ใช้ชี้วัด SWFA ในการกรององค์ประกอบ荷าร์มอนิกของกำลังออกทีฟ เพื่อเปรียบเทียบสมรรถนะในการคำนวณตรวจจับ荷าร์มอนิกของวิธี PQ และวิธี PQF โดยผลการจำลองสถานการณ์กรณีใช้วิธี PQ ของเฟส M และ T สามารถแสดงได้ดังรูปที่ 3.13 และ 3.14 ตามลำดับเฟส และสำหรับผลการจำลองสถานการณ์กรณีใช้วิธี PQF ของเฟส M และ T สามารถแสดงได้ดังรูปที่ 3.15 และ 3.16 ตามลำดับเฟส



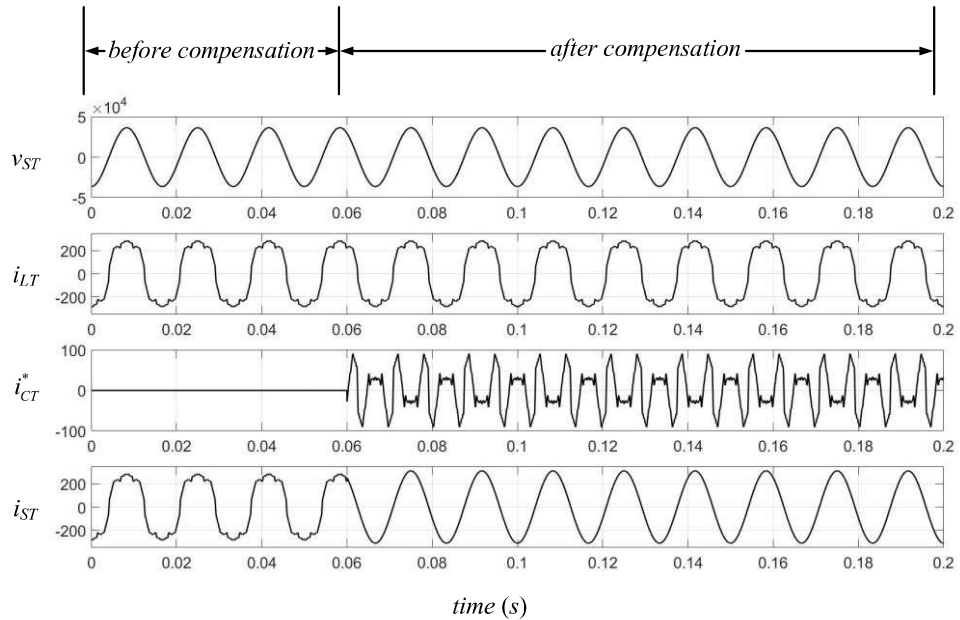
รูปที่ 3.13 ผลการตรวจจับ荷าร์มอนิกของเฟส M ด้วยวิธี PQ กรณีแหล่งจ่ายแรงดันเป็นรูปไซน์



รูปที่ 3.14 ผลการตรวจจับข้อมูลอนิกของเฟส T ด้วยวิธี PQ กรณีแหล่งจ่ายแรงดันเป็นรูปปีชenze



รูปที่ 3.15 ผลการตรวจจับข้อมูลอนิกของเฟส M ด้วยวิธี PQF กรณีแหล่งจ่ายแรงดันเป็นรูปปีชenze



รูปที่ 3.16 ผลการตรวจจับ harmonic อนิกของเฟส T ด้วยวิธี PQF กรณีแหล่งจ่ายแรงดันเป็นรูปไซน์

จากการจำลองสถานการณ์การกำจัด荷าร์มอนิกในระบบแรงไฟฟ้าที่เฟส M และ T ดังรูปที่ 3.13 ถึง 3.16 พบว่า ผลการทดสอบห้องวิธี PQ ที่ใช้วงจร LPF และวิธี PQF ที่ใช้วิธี SWFA มีลักษณะเช่นเดียวกัน คือ ในช่วงเวลาที่ 0 ถึง 0.06 วินาทีกระแสที่แหล่งจ่ายทั้งสองเฟส (i_{SM}, i_{ST}) มีลักษณะสัญญาณผิดเพี้ยนไม่เป็นรูปไซน์เช่นเดียวกับกระแสโหลด (i_{LM}, i_{LT}) ซึ่งสามารถวัดค่า %THD ของกระแสที่แหล่งจ่ายได้เท่ากับ 22.16% เท่ากับทั้งสองเฟส ต่อมาตั้งแต่ช่วงเวลา 0.06 วินาทีเป็นต้นไป แหล่งจ่ายกระแสในอุบคติจะทำการนีดกระแสที่มีลักษณะเช่นเดียวกันกับกระแสอย่างอิง (i_C^*) ที่ได้จากการคำนวณตรวจจับ harmonic อนิกด้วยวิธี PQ และวิธี PQF ส่งผลให้กระแส i_{SM} และ i_{ST} มีลักษณะรูปรสัญญาณกลับมาเป็นรูปไซน์มากขึ้น และมีค่า %THD ของกระแสที่แหล่งจ่ายลดลง โดยวิธี PQ ให้ค่า %THD ที่ระบบไฟฟ้ากำลังสองเฟสของเฟส M และ T เท่ากับ 0.0703% เท่ากับทั้งสองเฟส และที่ระบบไฟฟ้ากำลังสามเฟสของเฟส A B และ C เท่ากับ 0.0703% เท่ากับทั้งสามเฟส และวิธี PQF ให้ค่า %THD ที่ระบบไฟฟ้ากำลังสองเฟสของเฟส M และ T เท่ากับ 0.0015% เท่ากับทั้งสองเฟส และที่ระบบไฟฟ้ากำลังสามเฟสของเฟส A B และ C เท่ากับ 0.0015% 0.0011% และ 0.001 % ตามลำดับเฟส ซึ่งสามารถดูสรุปผลค่า %THD ดังกล่าวได้จากตารางที่ 3.2

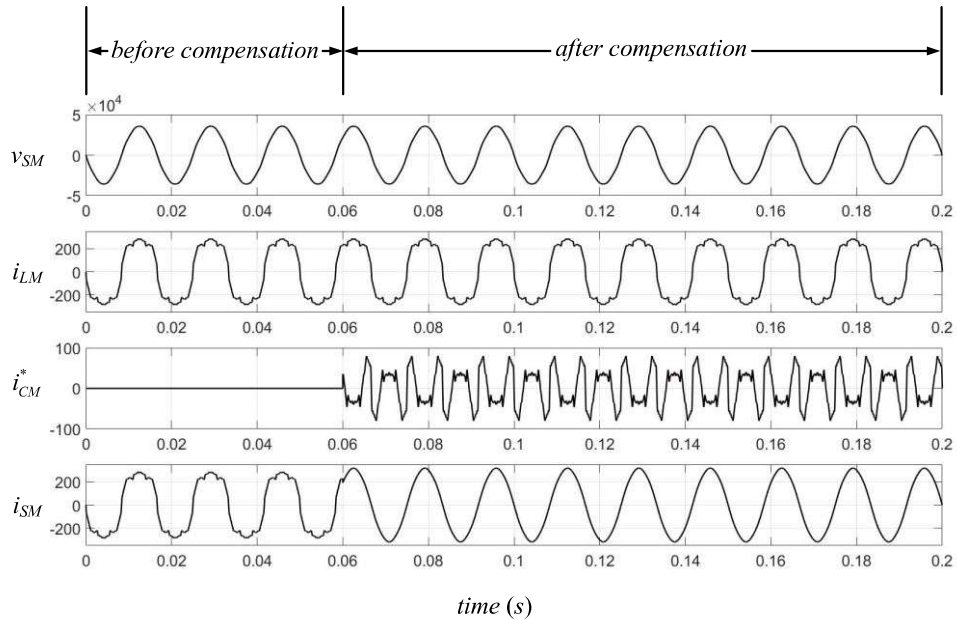
ตารางที่ 3.2 สรุปค่า %THD ของกระแสที่เหล่งจ่ายภายหลังการซัดเชยของการทดสอบกรณีที่ 1
เหล่งจ่ายแรงดันไฟฟ้าเป็นรูปไข่น์บริสุทธิ์

วิธีการคำนวณ ตรวจจับ harmonic อนิก	%THD ของกระแสที่เหล่งจ่ายภายหลังการซัดเชย							
	ระบบไฟฟ้ากำลังสองเฟส				ระบบไฟฟ้ากำลังสามเฟส			
	i_{SM}	i_{ST}	เฉลี่ย	i_{SA}	i_{SB}	i_{SC}	เฉลี่ย	
วิธี PQ	0.0703	0.0703	0.0703	0.0703	0.0703	0.0703	0.0703	
วิธี PQF	0.0015	0.0015	0.0015	0.0015	0.0011	0.0011	0.0013	

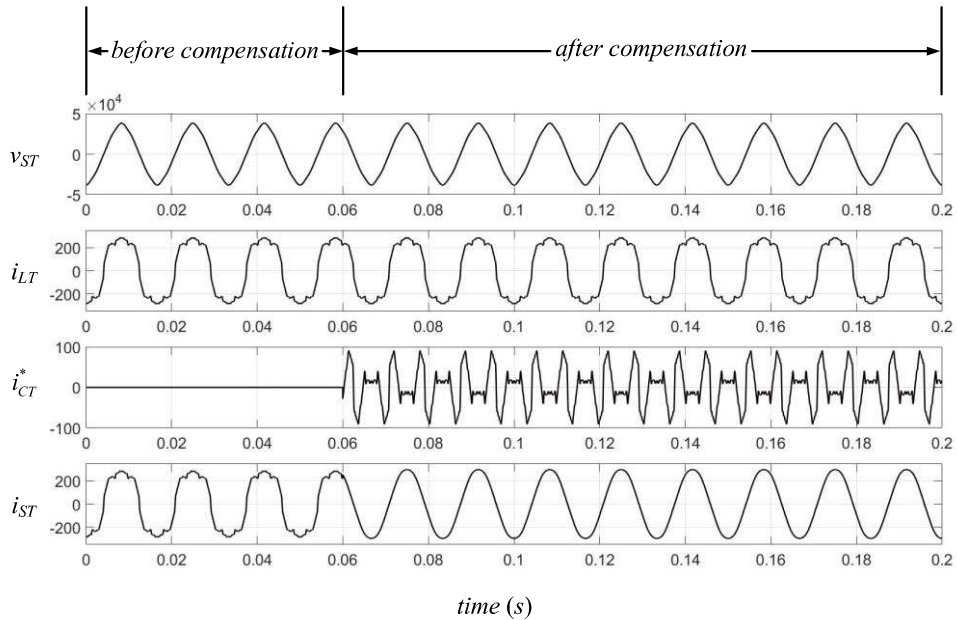
จากผลค่า %THD ของกระแสที่เหล่งจ่ายภายหลังการซัดเชยดังตารางที่ 3.2 พบร่วมกับวิธี PQF ที่ใช้วิธี SWFA ในการแยกองค์ประกอบของ harmonic อนิกของกำลังแอกทิฟจะให้ค่า %THD เฉลี่ยของกระแสที่เหล่งจ่ายที่ระบบไฟฟ้ากำลังสองเฟสเท่ากับ 0.0015% และที่ระบบไฟฟ้ากำลังสามเฟสเท่ากับ 0.0013% ซึ่งมีค่าที่น้อยกว่ากรณีวิธี PQ ที่ใช้วงจร LPF ในการแยกปริมาณ harmonic อนิกของกำลังแอกทิฟซึ่งมีค่า %THD เฉลี่ยของกระแสที่เหล่งจ่ายที่ระบบไฟฟ้ากำลังสองเฟส และที่ระบบไฟฟ้ากำลังสามเฟสเท่ากับ 0.0703% จากผลดังกล่าวแสดงให้เห็นว่าวิธี PQF มีสมรรถนะในการคำนวณตรวจจับ harmonic อนิกที่ดีกว่าวิธี PQ ซึ่งเป็นผลมาจากการวิธี SWFA ที่มีสมรรถนะในการแยกองค์ประกอบของ harmonic อนิกของกำลังแอกทิฟที่ดีกว่าการใช้วงจร LPF จากผลดังกล่าวในงานวิจัยวิทยานิพนธ์นี้จึงเลือกใช้วิธี PQF ในการคำนวณตรวจจับ harmonic อนิกสำหรับการทดสอบในกรณีที่ 2 เหล่งจ่ายแรงดันไฟฟ้ามี harmonic อนิกประปนต่อไป

3.6.2 การทดสอบกรณีที่ 2 เหล่งจ่ายแรงดันไฟฟ้ามี harmonic อนิกประปน

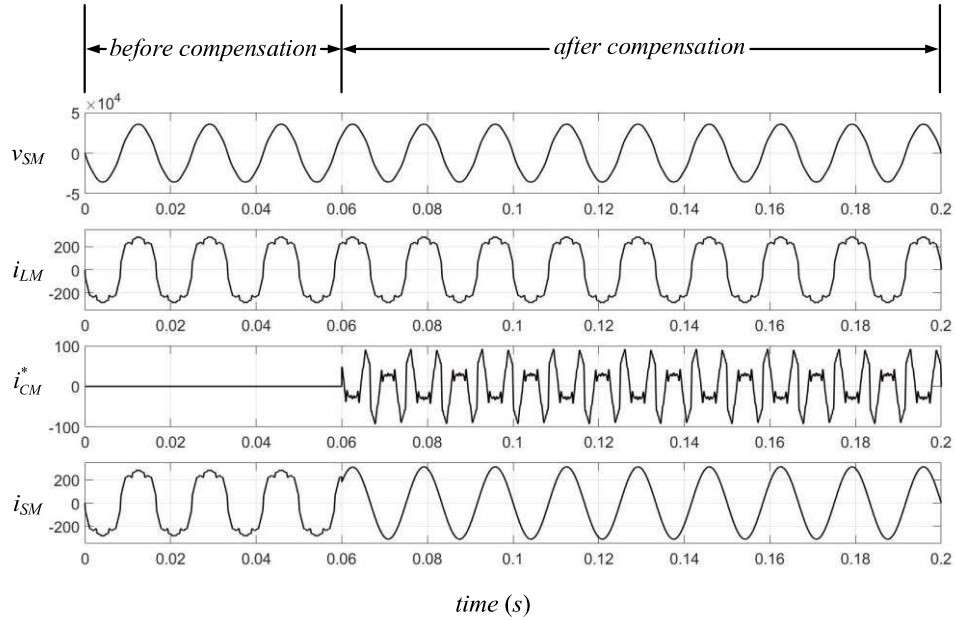
การทดสอบการคำนวณตรวจจับ harmonic อนิกในกรณีที่เหล่งจ่ายแรงดันไฟฟ้าของระบบแรงไฟฟ้ามี harmonic อนิกประปนจะทำการเปรียบเทียบระหว่างการใช้วิธี PQF และวิธี PQF ร่วมกับการตรวจจับแรงดันเฟสบวกมูลฐานด้วยวิธี PSVD (วิธี PQF ร่วมกับ PSVD) โดยในการทดสอบจะกำหนดให้เหล่งจ่ายแรงดันไฟฟ้าที่ระบบไฟฟ้ากำลังสองเฟสมี harmonic อนิกประปนส่งผลให้แรงดันดังกล่าวมีลักษณะไม่เป็นรูปไข่น์บริสุทธิ์ที่ค่า %THD เท่ากับ 3.26% (Tan P-C. and et al., 2003) เท่ากันทั้ง 2 เฟส (เฟส M และ T) โดยผลการจำลองสถานการณ์ของเฟส M และ T สำหรับกรณีที่ใช้การคำนวณตรวจจับ harmonic อนิกด้วยวิธี PQF เพียงอย่างเดียวสามารถแสดงได้ดังรูปที่ 3.17 และ 3.18 ตามลำดับ เฟส และสำหรับผลการจำลองสถานการณ์กรณีที่ใช้การคำนวณตรวจจับ harmonic อนิกด้วยวิธี PQF และ PSVD สามารถแสดงได้ดังรูปที่ 3.19 และ 3.20 ตามลำดับเฟส



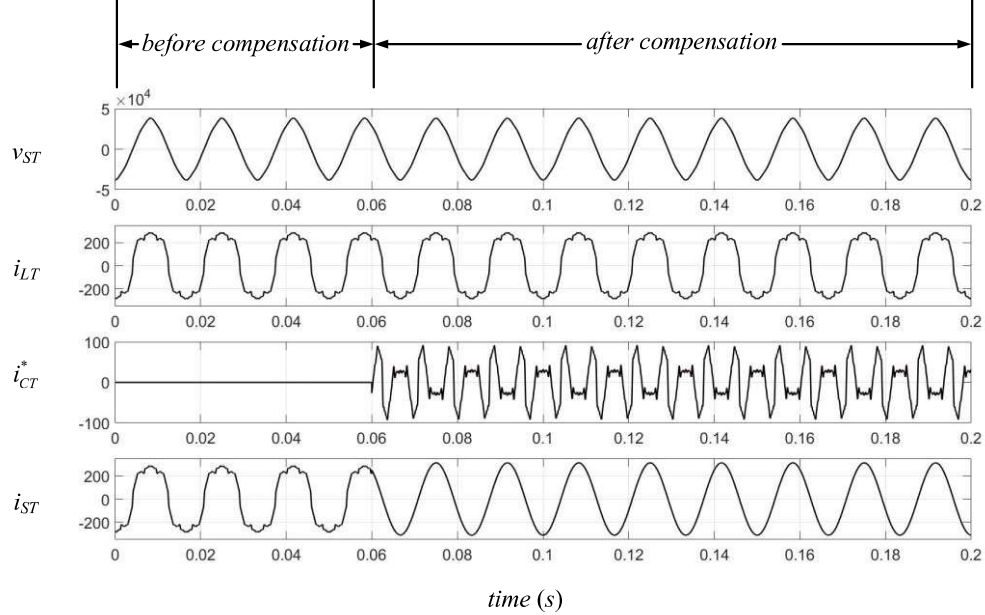
รูปที่ 3.17 ผลการตรวจจับยาร์มอนิกของเฟส M ด้วยวิธี PQF กรณีเหล่งจ่ายแรงดันมียาร์มอนิก ปะปน



รูปที่ 3.18 ผลการตรวจจับยาร์มอนิกของเฟส T ด้วยวิธี PQF กรณีเหล่งจ่ายแรงดันมียาร์มอนิก ปะปน



รูปที่ 3.19 ผลการตรวจจับฮาร์มอนิกของเฟส M ด้วยวิธี PQF ร่วมกับ PSVD กรณีแหล่งจ่ายแรงดัน มีฮาร์มอนิกปะปน



รูปที่ 3.20 ผลการตรวจจับฮาร์มอนิกของเฟส T ด้วยวิธี PQF ร่วมกับ PSVD กรณีแหล่งจ่ายแรงดัน มีฮาร์มอนิกปะปน

จากการจำลองสถานการณ์การกำจัดฮาร์มอนิกในระบบคงไฟฟ้าที่เฟส M และ T ดังรูปที่ 3.17 ถึง 3.20 พบว่า ในช่วงเวลาที่ 0 ถึง 0.06 วินาทีกระแสที่เหล่งจ่ายทั้งสองเฟส (i_{SM}, i_{ST}) มีลักษณะสัญญาณผิดเพี้ยนไม่เป็นรูปไข่นี้ เช่นเดียวกับกับกระแสโคลด์ (i_{LM}, i_{LT}) ซึ่งสามารถวัดค่า %THD ของกระแสที่เหล่งจ่ายได้เท่ากับ 22.16% เท่ากันทั้งสองเฟส ต่อมาในช่วงเวลา 0.06 วินาทีเป็นต้นไป เมื่อเหล่งจ่ายกระแสในอุตสาหกรรมทำการฉีดกระแสที่มีลักษณะเช่นเดียวกับกระแสอ่างอิง (i_{CM}^*, i_{CT}^*) ที่ได้จากการคำนวณตรวจจับฮาร์มอนิกด้วยวิธี PQF และวิธี PQF ร่วมกับ PSVD ส่งผลให้กระแส i_{SM} และ i_{ST} มีลักษณะรูปรูปสัญญาณกลับมาเป็นรูปไข่น้ำขึ้น และมีค่า %THD ของกระแสที่เหล่งจ่ายลดลง โดยวิธี PQF ให้ค่า %THD ที่ระบบไฟฟ้ากำลังสองเฟสของเฟส M และ T เท่ากับ 1.95% และ 2.12% ตามลำดับเฟส และที่ระบบไฟฟ้ากำลังสามเฟสของเฟส A B และ C เท่ากับ 1.95% 1.95% และ 2.07% ตามลำดับเฟส และวิธี PQF ร่วมกับ PSVD ให้ค่า %THD ที่ระบบไฟฟ้ากำลังสองเฟสของเฟส M และ T เท่ากับ 0.0031% และ 0.0041% ตามลำดับเฟส และที่ระบบไฟฟ้ากำลังสามเฟสของเฟส A B และ C เท่ากับ 0.0028% 0.0075% และ 0.0058% ตามลำดับเฟส ซึ่งสามารถลดรูปผลค่า %THD ดังกล่าวได้จากตารางที่ 3.3

ตารางที่ 3.3 สรุปค่า %THD ของกระแสที่เหล่งจ่ายภายหลังการฉีดเชยของการทดสอบกรณีที่ 2 แหล่งจ่ายแรงดันไฟฟ้ามีฮาร์มอนิกปะบัน

วิธีการคำนวณ ตรวจจับฮาร์มอนิก	%THD ของกระแสที่เหล่งจ่ายภายหลังการฉีดเชย						
	ระบบไฟฟ้ากำลังสองเฟส			ระบบไฟฟ้ากำลังสามเฟส			
	i_{SM}	i_{ST}	เฉลี่ย	i_{SA}	i_{SB}	i_{SC}	เฉลี่ย
วิธี PQF	1.95	2.12	2.04	1.95	2.07	2.07	2.03
วิธี PQF ร่วมกับ PSVD	0.0031	0.0041	0.0036	0.0028	0.0075	0.0058	0.0054

จากการคำนวณค่า %THD ของกระแสที่เหล่งจ่ายภายหลังการฉีดเชยดังตารางที่ 3.3 การคำนวณตรวจจับฮาร์มอนิกด้วยวิธี PQF เพียงอย่างเดียวจะให้ค่า %THD เฉลี่ยของกระแสที่เหล่งจ่ายที่ระบบไฟฟ้ากำลังสองเฟสมีค่าเท่ากับ 2.04% และที่ระบบไฟฟ้ากำลังสามเฟสมีค่าเท่ากับ 2.03% ซึ่งมีค่าเพิ่มมากขึ้นเมื่อเปรียบเทียบกับค่า %THD เฉลี่ยของกระแสที่เหล่งจ่ายของการทดสอบกรณีที่ 1 แหล่งจ่ายแรงดันไฟฟ้าเป็นรูปไข่น้ำบริสุทธิ์ดังตารางที่ 3.2 ในกรณีที่ใช้วิธี PQF ซึ่งแสดงให้เห็นว่าในกรณีที่แหล่งจ่ายแรงดันมีฮาร์มอนิกปะบันจะส่งผลเสียถึงการคำนวณตรวจจับฮาร์มอนิก ในขณะที่กรณีที่ใช้การคำนวณตรวจจับฮาร์มอนิกด้วยวิธี PQF ร่วมกับ PSVD จะให้ค่า %THD เฉลี่ยของกระแสที่เหล่งจ่ายที่ระบบไฟฟ้ากำลังสองเฟส และที่ระบบไฟฟ้ากำลังสามเฟสน้อยกว่า โดยมีค่าเท่ากับ 0.0036% และ 0.0054% ตามลำดับ จากผลดังกล่าวแสดงให้เห็นว่าการใช้วิธี PSVD ร่วมในการคำนวณตรวจจับฮาร์มอนิก สามารถแก้ปัญหาการคำนวณตรวจจับฮาร์มอนิกที่ผิดพลาดเนื่องจากผลกระทบของฮาร์มอนิกที่ปะบันในแรงดันที่เหล่งจ่ายได้

3.7 สรุป

ในบทนี้ได้นำเสนอการตรวจจับข้อมูลอนิกต์ด้วยวิธี PQ สำหรับระบบไฟฟ้ากระแสสลับแบบเฟสร่วม และนำเสนอการคำนวณตรวจจับข้อมูลอนิกต์ด้วยวิธี PQF ซึ่งประยุกต์ใช้วิธี SWFA ในการแยกองค์ประกอบข้อมูลอนิกของกำลังแอกทีฟแทนการใช้วงจร LPF นอกจากนี้ได้นำเสนอการใช้วิธี PSVD ร่วมในการคำนวณตรวจจับข้อมูลอนิกเพื่อแก้ปัญหาการคำนวณตรวจจับข้อมูลอนิกผิดพลาดในกรณีที่แหล่งจ่ายแรงดันไฟฟ้าของระบบไฟฟ้ามีข้อมูลอนิกปะปน โดยการทดสอบการตรวจจับข้อมูลอนิกในระบบไฟฟ้าที่พิจารณา พบว่า ในกรณีที่แหล่งจ่ายแรงดันไฟฟ้าของระบบไฟฟ้าเป็นรูปไซน์บริสุทธิ์การคำนวณตรวจจับข้อมูลอนิกต์ด้วยวิธี PQ และวิธี PQF สามารถคำนวณตรวจจับข้อมูลอนิกได้อย่างมีประสิทธิผล โดยวิธี PQF จะให้ค่า %THD เฉลี่ยของกระแสที่แหล่งจ่ายที่ระบบไฟฟ้ากำลังสองเฟสและที่ระบบไฟฟ้าสามเฟส และที่ระบบไฟฟ้ากำลังสามเฟสมีค่าที่น้อยกว่าวิธี PQ เนื่องจากวิธี SWFA มีสมรรถนะในการกรององค์ประกอบข้อมูลอนิกของกำลังแอกทีฟที่ดีกว่าการใช้วงจร LPF ส่วนในกรณีที่แหล่งจ่ายแรงดันไฟฟ้ามีข้อมูลอนิกปะปนการใช้วิธี PQF ร่วมกับ PSVD 在การคำนวณตรวจจับข้อมูลอนิกจะให้ค่า %THD เฉลี่ยของกระแสที่แหล่งจ่ายที่ระบบไฟฟ้ากำลังสองเฟสและที่ระบบไฟฟ้าสามเฟสมีค่าที่น้อยกว่าการใช้วิธี PQF เพียงอย่างเดียว เนื่องจากการนำวิธี PSVD มาร่วมในการคำนวณตรวจจับข้อมูลอนิกจะช่วยลดการคำนวณตรวจจับข้อมูลอนิกผิดพลาดเนื่องจากมีข้อมูลอนิกปะปนที่แรงดันไฟฟ้าที่แหล่งจ่าย ดังนั้นในงานวิจัยวิทยานิพนธ์นี้จึงเลือกใช้การคำนวณตรวจจับข้อมูลอนิกด้วยวิธี PQF ร่วมกับ PSVD 在การคำนวณตรวจจับข้อมูลอนิกในวิจัยวิทยานิพนธ์บทต่อ ๆ ไป